

# Stratégies optimales de régulation d'épidémies

Vincent Italiano

August 24, 2021

# Table of contents

Le Stage

Modèles épidémiologiques

Le modèle SIR

Le modèle étudié

Résultats théoriques

Résultats numériques

# Le stage

- ▶ MIMESIS.
  - développement d'outils numériques pour la simulation en temps réel
  - simulation de chirurgie
  - machine learning
- ▶ Modélisation d'épidémie

# Modèles épidémiologiques

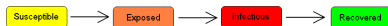
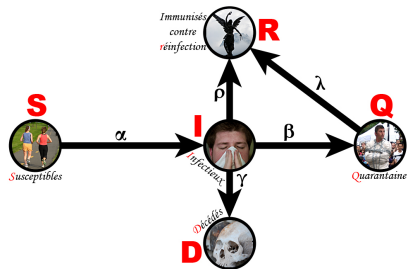
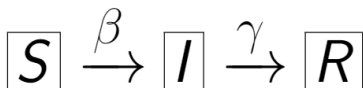


Figure: exemples de modèles épidémiologiques

# Le modèle SIR



- ▶  $S$  : représente les personnes saines.
- ▶  $I$  : les personnes infectées.
- ▶  $R$  : les personnes retirées.
- ▶  $\beta$  : taux de transmission.
- ▶  $\gamma$  : taux de guérison.

# Le modèle SIR

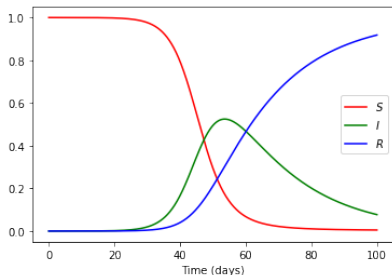
$$\left\{ \begin{array}{l} S'(t) = -\beta S(t)I(t) \\ I'(t) = \beta S(t)I(t) - \gamma I(t) \\ R'(t) = \gamma I(t) \\ S(t_0) = S_0, I(t_0) = I_0, R(t_0) = R_0 \end{array} \right. \quad (1)$$

avec  $S_0 + I_0 + R_0 = 1$ .

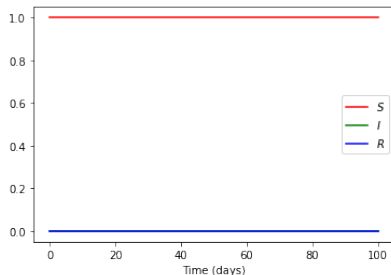
# Le modèle SIR

$\mathcal{R}_0 = \frac{\beta}{\gamma}$  déterminé la dynamique de l'épidémie.

- ▶ si  $\mathcal{R}_0 < 1$  il n'y a pas d'épidémie.
- ▶ Si  $\mathcal{R}_0 > 1$  une épidémie à lieu si  $S_0 > \frac{1}{\mathcal{R}_0}$ .
- ▶  $S_{\text{herd}} = 1/\mathcal{R}_0$  : seuil d'immunité collective,  $I$  commence à baisser.



a)  $\beta = 0.29, \gamma = 0.05$



b)  $\beta < \gamma$

Figure: Exemple de modélisation avec le modèle SIR

# Le modèle étudié

$$\begin{cases} S'(t) = -u(t)\beta S(t)I(t) \\ I'(t) = u(t)\beta S(t)I(t) - \gamma I(t) \end{cases} \quad (2)$$

$S(0) = S_0, I(0) = I_0$  et  $S_0 + I_0 \leq 1$ .

- ▶  $u = 1$ , aucune restriction.
- ▶ plus  $u$  prend des petites valeurs plus le confinement est strict.

$$U_{\alpha,T} = \{u \in L^2([0, +\infty[), \alpha \leq u(t) \leq 1 \text{ si } t \in [0, T], u(t) = 1 \text{ si } t > T\}$$



## Theorem ([2])

Soit  $\alpha \in [0, 1[$ . Supposons  $S_0 > S_{herd}$  et posons

$$\bar{\alpha} = \frac{S_{herd}}{S_0 + I_0 - S_{herd}} \ln \left( \frac{S_0}{S_{herd}} \right)$$

► Il n'existe pas de temps  $T > 0$  et  $u \in U_{\alpha, T}$  tels que

$$\lim_{t \rightarrow \infty} S(t) = S_{herd}$$

► Si  $\alpha < \bar{\alpha}$ , alors pour tout  $0 < \varepsilon < S_{herd}$  il existe un  $T > 0$  et  $u \in U_{\alpha, T}$  tels que

$$S_{herd} \geq \lim_{t \rightarrow \infty} S(t) \geq S_{herd} - \varepsilon$$

On considère le problème :

$$\sup_{u \in U_{\alpha, T}} S_{\infty}(u) \quad (\mathcal{P}_{\alpha, T})$$

où

$$S_{\infty}(u) = \lim_{t \rightarrow \infty} S(t)$$

avec  $(S, I)$  la solution du problème (2) associée  $u$ .

Ou sa forme équivalente :

$$\inf_{u \in U_{\alpha, T}} J(u) \quad (\mathcal{P}_{\alpha, T}^{\Phi})$$

où

$$J(u) = \gamma \int_0^T (u(t) - 1)I(t)dt$$

# Résultats théoriques

## Theorem ([2])

*Soit  $\alpha \in [0, 1[$  et  $T > 0$ . Le problème  $(\mathcal{P}_{\alpha, T}^\Phi)$  admet une unique solution  $u^*$ . De plus, il existe un unique réel  $T_0 \in [0, T[$  tel que  $u^* = u_{T_0}$  où*

$$u_{T_0} = 1_{[0, T_0]} + \alpha 1_{[T_0, T]} + 1_{[T, +\infty[}$$

On a un nouveau problème équivalent :

$$\sup_{T_0 \in [0, T[} S_\infty(u_{T_0}) \quad (\tilde{\mathcal{P}}_{\alpha, T})$$

# Résultats théoriques

on note

$$\psi(T_0) = (1 - \alpha)\beta I^{T_0}(T) \int_{T_0}^T \frac{S^{T_0}(t)}{I^{T_0}(t)} dt - 1 \quad (3)$$

où  $(S^{T_0}, I^{T_0})$  désigne la solution de (2) associée à  $u_{T_0}$ .

## Theorem

Soit  $\alpha \in [0, 1[$ ,  $T > 0$  et  $T_0^*$  la solution du problème  $(\tilde{\mathcal{P}}_{\alpha, T})$ . La fonction  $\psi$  est décroissante sur  $]0, T[$  et

- ▶ si  $\psi(0) \leq 0$ , alors  $T_0^* = 0$
- ▶ si  $\psi(0) > 0$ , alors  $T_0^*$  est l'unique solution sur  $]0, T[$  de l'équation

$$\psi(T_0) = 0$$

# Résultats numériques

- ▶ Librairie python adaptée.
- ▶ algorithme de gradient projeté.
- ▶ utiliser les résultats théoriques.

paramètre	valeur
$\beta$	0.29
$\gamma$	0.1
$\alpha$	0.231
$S_0$	$1 - I_0$
$I_0$	$1.49 \times 10^{-5}$
$R_0$	0
$T$	100

Table: valeurs des paramètres pour les simulations numériques

# Avec GEKKO

```
# initialize gekko
m = GEKKO()
m.time = np.linspace(0,T,nt)

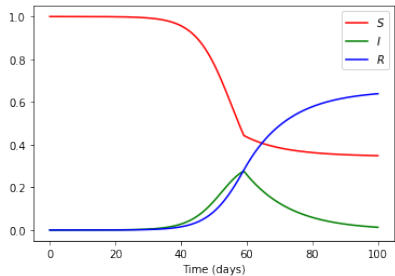
# Variables
S = m.Var(value=S0)
I = m.Var(value=I0)
x = m.Var(value=0)
u = m.Var(value=1,lb=alpha_conf,ub=1)
p = np.zeros(nt) # mark final time point
p[-1] = 1.0
final = m.Param(value=p)

# Equations
m.Equation(S.dt()==-beta*u*S*I)
m.Equation(I.dt()==beta*u*S*I-gamma*I)
m.Equation(x.dt()==gamma*(u-1)*I)

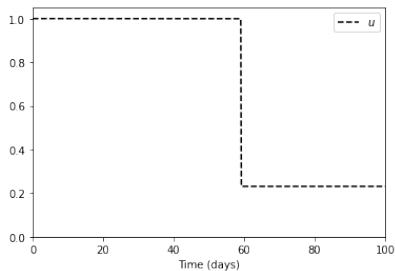
m.Obj(x*final) # Objective function
m.options.IMODE = 6 # optimal control mode
m.options.MAX_ITER = 2000 # adjust maximum iterations
m.solve(dis=False) # solve
```

Figure: Utilisation de GEKKO pour résoudre  $(\mathcal{P}_{\alpha,T})$

# Avec GEKKO



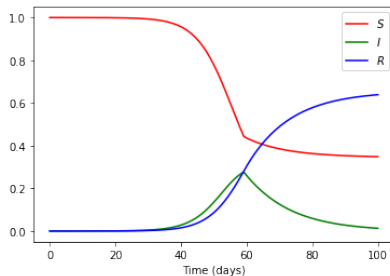
a) Solutions de (2)



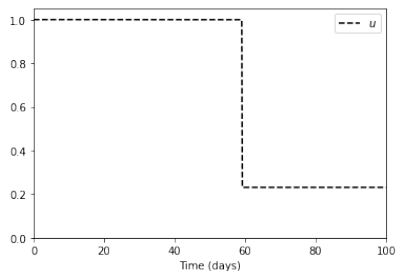
b) Contrôle associé

Figure: solution du problème  $(\mathcal{P}_{\alpha, T})$  avec GEKKO

# Par un gradient projeté/Avec les résultats théoriques



a) Solutions de (2)



b) Contrôle associé

Figure: solution du problème  $(\tilde{\mathcal{P}}_{\alpha, T})$  par dichotomie



## La suite..

- ▶ Nouveau critère à optimiser, par exemple ne pas avec trop d'infectés.
- ▶ Autre type de modèle : SEIR par exemple.

# Bibliography



Logan Beal, Daniel Hill, R Martin, and John Hedengren.

Gekko optimization suite.

*Processes*, 6(8):106, 2018.



Pierre-Alexandre Bliman, Michel Duprez, Yannick Privat, and Nicolas Vauchelet.

Optimal Immunity Control and Final Size Minimization by Social Distancing for the SIR Epidemic Model.

*Journal of Optimization Theory and Applications*, 189(2):408–436, 2021.



Marc Monticelli Corentin Bayette.

Modélisation d'une épidémie, partie 1.

*Images des Mathématiques*, 2020.



E.Trelat.

Contrôle optimal : théorie et applications.

*collection "mathématiques discrètes"*, 2005.